

## 機能材料・知能材料の設計と開発

星山 康洋\* 幸塚 広光\*\* 杉本 隆史\*\* 三宅 秀和\*\*

Design and Development of Functional materials & Intelligent materials

Yasuhiro HOSHIYAMA, Hiromitsu KOZUKA, Takashi SUGIMOTO, Hidekazu MIYAKE

### 1.はじめに

機能材料 (functional material) という言葉は近年よく使われているが、これは大森豊明博士がつくった言葉であり、強度や韌性などの機械的特性とは異なる有用な性質を示す材料を総称している。未来的材料開発の方向付けをするために、インテリジェント材料 (知能材料)とも呼ばれる新たな言葉が島村昭治博士によりつくられている。これらは従来の材料開発の歴史を踏まえての新たな呼称でもある。

一般的な材料の特性は材料特有のものとして伝承されてきた。すなわち、材料本来の特性として、無機系材料では耐熱性に優れ、種々の環境において安定性があるが、加工しにくい。高分子材料で代表されるプラスチックは軽量で、耐食性、加工性に優れているが、耐熱性で劣る。さらには金属材料では機械的特性に優れ、加工性があり、安価であるが軽量性に劣るなどといったイメージがある。

これに対して機能材料 (知能材料) の定義は汎用材料にはない新たな特性を有することから区別される側面もある。それらは応用される分野毎で異なる性能が求められる。例えば、その代表的な機能材料 (知能材料)として挙げると、電気関連分野では各種半導体材料、超電導材料、ジョセフソン素子、リードフレームなど、磁性関連分野では非晶質磁性体、希土類磁石、磁歪材料、磁気記録材料など、光関連分野では発光ダイオード、レーザーダイオード、エレクトロルミネッ

センス、蛍光体など、熱関連分野では温度センサー、耐熱材料、ヒートパイプ、水素貯蔵合金など、機械関連分野では圧力センサー、形状記憶材料、超弾性、超塑性など、音・振動関連分野ではスピーカー材料、楽器材料、金属防振材料など、化学関連分野ではガスセンサー、電池材料、金属触媒など、医療関連分野では人工弁、歯科材料、人工骨材料などがある。

これらの機能材料 (知能材料) の概念は、荷重、温度、薬品、電磁場などの外部環境変化に適応した特性を示す材料のことであり、視覚、聴覚、触覚、嗅覚や味覚などの五感機能や、神経、脳などを構成する材料に相当し、外部からの刺激、例えば光、電気、圧力に対応する特性で評価される。

すなわち、機能材料・知能材料の設計と開発を推進するためには、材料の種類によって異なる様々な手法を用いて材料の高機能化と技術を確立する必要がある。従って、従来型の単一材料の中（金属材料、無機材料、有機材料など）だけでは材料自身が有している本来の特性発現には限度があるため、さらなる高機能化には例えば材料物性の枠を超えた広範囲での複合化も視野に入れるべき時であろう。ここでは単一材料に比して複雑なプロセスを踏まえての従来の材料にはない新しい機能が付与される可能性のある先端高機能化材料の開発の一端を紹介する。

### 2. 形状記憶合金の制振機能

1964年米国海軍兵器研究所 (Naval Ordnance Laboratory) で潜水艦用の耐食性に優れしかも振動吸収性能を持つニッケルとチタンの合金が研究され、モル比1対1の金属間化合物 NiTi 合金に良好な形状記憶効果 (Shape Memory Effect) が見つけられた<sup>1)</sup>。

原稿受付 平成18年8月10日

\* 工学部専任講師 (先端マテリアル工学科)  
\*\* 工学部教授 (先端マテリアル工学科)

元素名と研究所の頭文字から“NITINOL”と名づけられたTi-50at%Ni合金の針金は室温で曲げることができ、これをお湯につけると一瞬にして元の形、直線的な針金に戻る。普通の針金ではこうはならない。

## 2-1 形状記憶効果のメカニズムと3つの特性

Fig. 1 に形状記憶効果のメカニズムを示す。形状記憶効果のメカニズムは、母相／マルテンサイト相の可逆的な変態による。

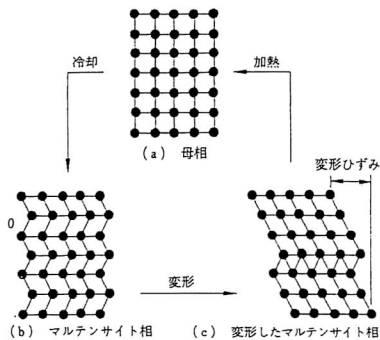


Fig. 1 The mechanism of function in shape memory alloys.

普通の針金は Fig. 1(a)の母相の状態にあり、曲がりは結晶のすべり変形で起こる。このすべり変形に要する力が高いためピアノ線は普通の針金のように簡単に曲げることができない。TiNi 合金はお湯の温度で(a)の母相の状態にあり、ピアノ線ほどではないがすべり変形に要する力は高い。しかし室温では Fig. 1(b)のマルテンサイト相の状態にあり、低い力で Fig. 1(c)の変形マルテンサイトの状態になる。これが曲がった TiNi 合金であり、マルテンサイト相中の双晶・積層欠陥が変形に携わっている。このときの変形ひずみは数パーセントであり、お湯につけて加熱すると(a)の母相に逆変態すると同時に見かけの変形は回復し、室温になっても(b)の状態で形状は元の直角である。このマルテンサイト相に存在する動き易い双晶・積層欠陥が音や振動のエネルギーを熱に変換し 2 つ目の制振性 (Vibration Damping) を発現する。従って形状記憶合金の制振機能はマルテンサイト相で認められるが、母相の状態ではない。一方、母相状態の TiNi はすべり変形に要する力が高いと書いたとおり、母相で曲げてもピアノ線のように手を離せば元に戻る。さらに力を加えるとマルテンサイト相が応力誘起し、見かけは 8% に及ぶ大きな変形を示すが、力を除くと元に戻る

超弾性 (Super Elasticity) (または変態擬弾性) を示す。これが形状記憶、制振機能に次ぐ 3 つの特性で、先ごろ携帯電話の引き出し式アンテナに利用されていた。またヨーロッパでは、地震から建物の倒壊を防ぐ免震装置への TiNi 合金の利用が国際プロジェクト<sup>2)</sup>で検討された。

このような3つの特異な機能が形状記憶合金の熱弹性マルテンサイト変態によるものであり、鋼の焼入れ硬化機構であるマルテンサイト変態と異なる点である。

## 2-2 制振材料とその機能の評価

騒音や不快な振動をなくし、快適な生活環境を誰しもが願っている。そのための窓の二重構造ガラスは、空気を伝播する音を反射させる遮音材料であり、自動車のエンジルーム回りに貼り付けられたグラスウールは吸音材料である。振動を嫌う精密機器やPCの据付脚にゴムが取り付けられている。これは固体中を伝播する振動エネルギーを反射する防振材料である。これに対して振動エネルギーを内部摩擦、または外部摩擦により熱エネルギーに変換して材料内で消費するのが制振材料である。鋼板の間にポリマーフィルムを挟んだラミネート鋼板は、ポリマーの粘弾性を利用した外部摩擦型で、深夜でも使用できる静かな洗濯機を商品化した。

さて本稿の主題は内部摩擦型の制振金属材料である。金属は一般に強くて壊れにくく、耐熱性に優れた材料である。硬い陶器は落とすと壊れ、プラスチックの容器は火に掛けて煮炊きができない。しかしこのセラミックス、ポリマーに比較して金属をたたくと高く、大きな音、いわゆる金属音を発生する。この特性が梵鐘や楽器として利用される場合と、騒音の原因として嫌われ

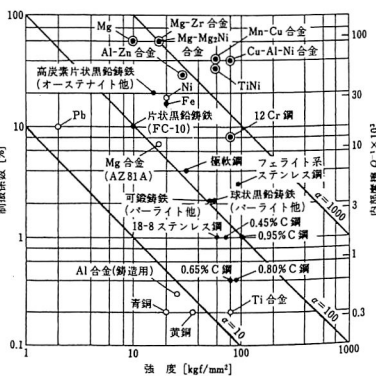


Fig. 2 Relation between the strength of metallic materials and damping coefficient.

いざ場合がある。

これは金属が弾性エネルギーを蓄積する能力に優れているためであり、逆に弾性エネルギーを消費する能力に優れた金属材料が制振材料である。この機能は内部摩擦 (Internal friction) または減衰能 (Damping capacity) の大小で評価できる。Fig. 2 に杉本孝一（関西大学名誉教授）により整理された金属材料の強度と減衰能の工学的指標である制振係数との関係<sup>3)</sup>を示す。

強度の高い金属、合金は制振係数、内部摩擦が低く、鉛(Pb)のように柔らかい、強度の低い金属は制振係数が高い。ここで図中に引かれた $\alpha = 10 \sim 1000$ の右下がりの3本の直線に注目する。

$\alpha$ は強度と制振係数の積である。○で示す Pb、Al 合金、黄銅、Ti 合金等非鉄金属材料は  $\alpha = 10$  の直線に沿い、●の鋳鉄、鋼、ステンレス鋼等鉄鋼材料の多くは  $\alpha = 100$  の直線に沿っている。◎の金属・合金が制振材料で、六方晶底面すべり機構の Mg、強磁性磁区壁移動機構の 12Cr 鋼、そしてマルテンサイト変態機構の TiNi 等形状記憶合金が  $\alpha = 1000$  の直線に沿って存在している。この様に内部摩擦型の制振機構は、強磁性磁区壁移動、六方晶底面すべり、およびマルテンサイト変態の 3 つに分類され<sup>1)</sup>、形状記憶合金の高い内部摩擦はマルテンサイト相状態でなければ得られない。

### 2-3 TiNi 形状記憶合金の内部摩擦の温度依存性

TiNi 合金は熱間、冷間圧延が可能な金属間化合物で、インゴットを熱延、冷延、中間焼き鉋しを経て、最終30%の冷間圧延で厚さ 1 mm の板を準備した。これから幅 5 mm、長さ 115 mm の試験片を加工し、振動数が 10 Hz 前後のねじり振動法で内部摩擦を測定した。試料は母相の 420 K に昇温後 150 K まで 0.03 K/s で冷却し、温度依存性を測定した。Fig. 3 に TiNi 合金の内部摩擦の温度依存性を示す。3 本の内部摩擦の温度依存性曲線<sup>5)</sup>は、試料の熱処理条件が異なる。DSC (示差走査熱量計) で計測した試料のマルテンサイト変態開始温度 Ms 点は 330 K で、終了温度 Mf 点は 290 K であった。高温側から 330 Kまでの内部摩擦  $Q^{-1}$  は 0.005 以下と低く、 $10^{-3}$  オーダーは Fig. 2 の  $\alpha = 100$ 、鉄鋼材料の領域になる。Ms より低温では  $Q^{-1}$  が急激に上昇し 300 K でピークを示し、Mf 付近で 0.03 まで低下する。ここまで 3 本の曲線は重なっているが、さらに温度が下がると  $Q^{-1}$  が 0.02 の定常型の曲線と、200 K で 0.05 を越すピーク型に分かれれる。

この高い内部摩擦値は Fig. 2 で示した TiNi の値にほぼ等しい。いずれにしても、TiNi 形状記憶合金

の内部摩擦は、母相の状態に比べマルテンサイト相状態では一桁高い値を示し、制振機能が確認できた。

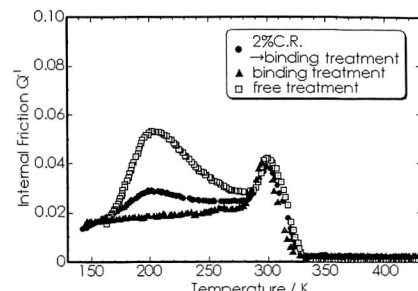


Fig. 3 Temperature dependence of internal friction in TiNi alloy.

## 2-4 制振機能のメカニズム

Fig. 3 の内部摩擦の最初のピークは、Ms と Mf の間の300K で観察され、同時に計測した共鳴周波数から剛性率もミニマムを示した。従ってこのピークは母相からマルテンサイト相への逐次変態中の応力緩和現象と理解できる。しかし温度幅の広い200K ピークに対応する剛性率の異常は認められなかった。しかもこのピークは試料の加工や熱処理によって形状を異にする。

冷間圧延した試料は通常高温で焼き鉋して使用する。しかし形状記憶効果で冷延時の反りが戻るため、真直ぐな試料を得るためにステンレスの板に挟み、1073Kで拘束熱処理を行った。この試料の温度依存性はFig. 3 の定常型で、200K ピークが認められない。そこで再度、板に挟まずに焼き鉋しを行った試料が大きな200K ピークを示した。中間の温度依存曲線はこれに 2% の冷延後拘束熱処理した試料の結果である。

この様な形状記憶合金の高い内部摩擦は、電子顕微鏡でマルテンサイト中に観察される双晶・積層亀裂に起因した緩和現象と理解している。しかし熱処理の方法により何故高い緩和ピークが出たり、出なかったりするのか。この200Kの緩和ピークを室温付近にまでシフトできないか。形状記憶合金を制振材料として活用するための基礎研究はまだまだ課題を残している。

### 3. ゾル-ゲル法による $\text{Fe}_2\text{O}_3$ - $\text{TiO}_2$ 薄膜の 作製と光陽極特性

水を支持電解質として  $TiO_2$  を陽極とし、 $TiO_2$  に太陽光を照射すると電流が得られ、かつ、水を水素と酸素に分解することができる。これが本多-藤嶋効果で

あり<sup>6)</sup>、太陽光エネルギーを電気的・化学的エネルギーに変換する材料として  $TiO_2$  が注目を集めて久しい。 $TiO_2$  の特徴は、紫外域での高い量子収率に加え、水溶液中の高い光電気化学的安定性にある。しかしながら、 $TiO_2$  のバンドギャップは 3 eV と大きく、エネルギー変換に使用できる太陽光は紫外光（約 5%）に限られる。

$\alpha$ - $Fe_2O_3$  のバンドギャップは 2.2 eV と比較的小さく、しかも水溶液中で安定であるため、しばしばその光陽極特性が調べられてきた。しかしながら、光吸収係数が小さく、かつ、電子の易動度が小さいため、高いエネルギー変換効率が実現していない。

$TiO_2$  の特性と  $\alpha$ - $Fe_2O_3$  の特性を組み合わせることにより、可視光に応答し、水溶液中で光電気化学的安定性を有する光陽極が期待できる。幸運なところ、Zrルゲル法によって作製した  $Fe_2TiO_5$  薄膜を作成する3電極系セルにおいて、波長 340 nm で最大量子収率 12 % が得られ、しかも波長 500 nm までの可視光に応答することを報告した<sup>7)</sup>。一方、 $\alpha$ - $Fe_2O_3$  への  $TiO_2$  の導入、また  $TiO_2$  への  $\alpha$ - $Fe_2O_3$  の導入によってこれまでに作製された半導体電極は、それぞれその添加量が数 % までに限られているので<sup>8)-11)</sup>、十分に研究の余地があると考えられる。

本研究では種々の  $Fe/(Fe+Ti)$  比も含めセラミック薄膜を Zr-ゲル法により作製した。幸運なところ、 $\alpha$ - $Fe_2O_3$  薄膜の量子収率が、コーティング溶液に PVP（ポリビニルピロリドン）を添加することによって増大することをすでに確かめているので<sup>12)</sup>、PVP を添加したコーティング溶液からの薄膜の作成も試みた。

### 3-1 実験方法

モル比  $Fe(NO_3)_3 \cdot 9H_2O : Ti(OC_3H_7)_4 : H_2O : CH_3COCH_2COCH_3 : CH_3COCH_2OH = x : 1 - x : 4 : 4 : 20$ （溶液 A）、ならびにモル比  $Fe(NO_3)_3 \cdot 9H_2O : Ti(OC_3H_7)_4 : PVP : H_2O : CH_3COCH_2COCH_3 : CH_3COCH_2OH = 0.2 : 0.8 : (1 - x) : 4 : 4 : 45$ （溶液 B）なる溶液を作成し、コーティング液とした。

ただし、ここで PVP は粘度平均分子量 630000 のポリビニルピロリドンであり、モル比はモノマー換算値である。基板引き上げ速度 3 cm/min のディップコーティングによりネサシリカガラス基板上にゲル膜を作成し、これを 700°C で 10 min 烧成してセラミック薄膜（厚さ 50–180 nm）を得た。ただし、溶液 A をコーティング液とした場合に限り、ディップコーティングと焼成を 4 回繰り返した。

薄膜試料を作成極、白金黒付き白金電極を対極、飽

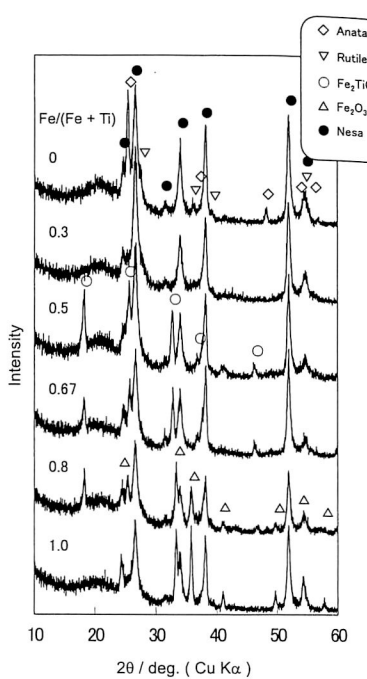


Fig. 4 X-ray diffraction patterns of  $Fe_2O_3$ - $TiO_2$  film electrodes prepared from solutions of various  $Fe/(Fe+Ti)$  ratios via four-cycled depositions.

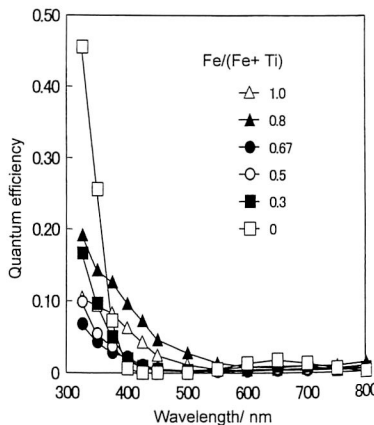


Fig. 5 Action spectra of  $Fe_2O_3$ - $TiO_2$  film electrodes prepared from solutions of various  $Fe/(Fe+Ti)$  ratios via four-cycled depositions. The measurement was carried out at a bias potential of 1.0 vs. SCE.

和カロメル電極を参照極とし、pH = 7 の緩衝溶液（0.2 M  $Na_2B_4O_7$ 、0.14 M  $H_2SO_4$ 、0.3 M  $Na_2SO_4$  水溶液）を支持電解質とする 3 電極系湿式セルを構成した。Xe ランプ光をモノクロメータにより単色光化し、ボテンショスタットで電位を制御した作用極に照射して光電流の測定を行った。

### 3-2 結果および考察

#### 3-2-1 $Fe/(Fe+Ti)$ 比の効果

Fig. 4 に PVP を含まない溶液（溶液 A）から作製したセラミック薄膜の X 線回折パターンを示す。

モル比  $Fe/(Fe+Ti) (=x)=0$  ではルチル相とアナタース相が、また、 $Fe/(Fe+Ti)=1$  では  $\alpha$ - $Fe_2O_3$  相が見られた。

一方、 $Fe/(Fe+Ti)=0.67$  では  $Fe_2TiO_5$  相が、 $Fe/(Fe+Ti)=0.8$  では  $Fe_2TiO_5$  相と  $\alpha$ - $Fe_2O_3$  相が見られた。 $Fe/(Fe+Ti)=0.3$  では  $TiO_2$ 、 $Fe_2TiO_5$ 、 $\alpha$ - $Fe_2O_3$  のいずれのピークも確認できなかった。

Fig. 5 に PVP を含まない溶液（溶液 A）から作製したセラミック薄膜のアクションスペクトルを示す。

ただし、作用極の電位を 1 V vs. SCE とした。

$TiO_2$  に  $Fe_2O_3$  を導入すると紫外域での量子収率が減少した。 $Fe_2O_3$  側から見た場合、 $Fe/(Fe+Ti)=0.5$  までは光応答はほとんど長波長側には広がらず、紫外域での量子収率が減少するだけであった。しかしながら、 $Fe/(Fe+Ti)=0.67$  から 1.0 の間では光応答が可視域まで広がり、 $Fe/(Fe+Ti)=0.8$  では波長 550 nm 付近まで光応答が増大した。

Table 1 にモットーショットキープロットから求めたドナー密度 ( $N_d$ ) を示す。

ドナー密度は  $Fe/(Fe+Ti)=0.8$  で最大となった。ドナー密度の増大が量子収率増大の一因であると考えられる。

Table 1 Donor density of the  $Fe_2O_3$ - $TiO_2$  film electrodes prepared from solutions of various  $Fe/(Fe+Ti)$  ratios via four-cycled deposition.

$Fe/(Fe+Ti)$	$N_d / 10^{18} \text{ cm}^{-3}$
0.67	5.0 ~ 11.5
0.8	23.9 ~ 54.7
1.0	1.3

#### 3-2-2 PVP の効果

$Fe/(Fe+Ti)=0.8$  で PVP を含まない溶液（溶液 A）から作製した薄膜試料の結晶相は  $\alpha$ - $Fe_2O_3$  と  $Fe_2TiO_5$  であったが、 $Fe/(Fe+Ti)=0.8$  で PVP を含

む溶液（溶液 B）から作製した薄膜試料の X 線回折パターンには  $\alpha$ - $Fe_2O_3$  に帰属されるピークのみが見られた。

Fig. 6 に  $Fe/(Fe+Ti)=0.8$  で種々の PVP/( $Fe+Ti$ ) 比をもつ溶液から作製した薄膜試料のアクションスペクトルを示す。

波長 325 ~ 550 nm での量子収率は、 $PVP/(Fe+Ti)=2.0$  で最大となった。

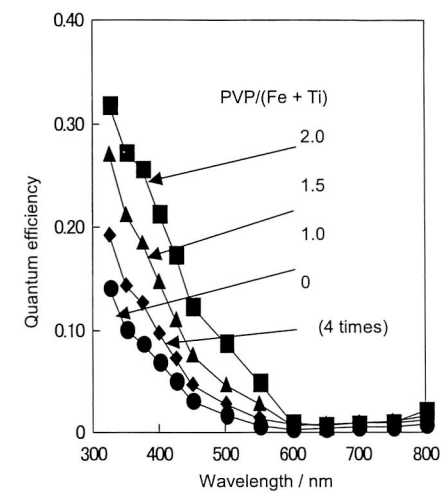


Fig. 6 Action spectra of  $Fe_2O_3$ - $TiO_2$  film electrodes prepared from solutions of  $Fe/(Fe+Ti)=0.8$  and various  $PVP/(Fe+Ti)$  ratios via non-cycled deposition. The measurement was carried out at a bias potential of 1.0 vs. SCE.

Table 2 Donor density of the  $Fe_2O_3$ - $TiO_2$  film electrodes prepared from solutions of  $Fe/(Fe+Ti)=0.8$  and various  $PVP/(Fe+Ti)$  ratios via non-cycled deposition.

$PVP/(Fe+Ti)$	$N_d / 10^{19} \text{ cm}^{-3}$
2.0	83.4 ~ 191.1
1.5	68.7 ~ 157.4
1.0	33.7 ~ 77.3
0 (4 times)	2.4 ~ 5.5

Table 2 にモットーショットキープロットから求めたドナー密度を示す。

ドナー密度は PVP を含む溶液から作製した試料の方が一桁大きく、 $PVP/(Fe+Ti)$  比の増加とともに

増大した。ゲル膜中のPVPが燃焼する際に $\text{Fe}^{3+}$ が $\text{Fe}^{2+}$ に還元され、しかも、 $\text{Ti}^{4+}$ イオンが $\alpha\text{-Fe}_2\text{O}_3$ 中の $\text{Fe}^{3+}$ 位置に置換固溶することによりドナー密度が増大し、量子収率の増大を招いたものと考えられる。

### 3-3まとめ

ゾル-ゲル法により $\alpha\text{-Fe}_2\text{O}_3\text{-TiO}_2$ 2成分系セラミック薄膜を作製し、光陽極特性を調べた。その結果、可視域での量子収率は $\text{Fe}/(\text{Fe}+\text{Ti})=0.8$ で最大となり、溶液にPVPを添加することにより、量子収率がさらに増大することがわかった。

## 4. チタンアルミニド基溶射皮膜の特性評価

プラズマ溶射法はプラズマ炎の中にセラミックスや金属を投入し、溶融・加速して基材表面に吹き付け皮膜を作製する技術であり、従来、各種機器部材の表面に耐摩耗性や耐食性、耐熱性などを付加するための表面処理技術のひとつとして利用されてきた。このプラズマ溶射法は、溶融した粉末が基材に衝突し凝固する時の冷却速度が $10\text{K/s}\sim10^2\text{K/s}$ と極めて大きいことが特徴的であり、非平衡相や過飽和溶体が容易に得られる。この特徴的な急速凝固を利用することにより、プラズマ溶射法は、表面処理技術としての利用だけでなく、セラミックスや高融点化合物の微細粒子を分散させた急速凝固材を作製するプロセスとして利用ができる。ここでは、 $\text{Ti-Al-AlN}$ 複合粉末を減圧プラズマ溶射することによって作製したチタンアルミニド基急速凝固皮膜に関して述べる。

### 4-1 皮膜の作製

#### 4-1-1 溶射材料の作製

純度99.4mass%で粒径 $45\mu\text{m}$ 以下のチタン粉末( $100.5\times10^{-3}\text{kg}$ )、純度99.9mass%で粒径 $45\mu\text{m}$ 以下のアルミニウム粉末( $64.1\times10^{-3}\text{kg}$ )および粒径 $1\mu\text{m}$ 以下のAlN粉末( $4.4\times10^{-3}\text{kg}$ )をアルゴン雰囲気中でボールミーリングし、複合粉末を作製した。作製した複合粉末をその後 $32\mu\text{m}\sim53\mu\text{m}$ にふるい分けし、溶射材料に供した。

#### 4-1-2 プラズマ溶射

Fig. 7にプラズマ溶射プロセスの概略図を示す。予めアルミナ粒子でグリットブラストした8枚の縦50mm×横60mm×厚さ3mmのSS400基板を回転シャフトに取り付け、メテコ7MT型プラズマガンを用いて、40kPaのアルゴン雰囲気中で複合粉末を減圧プラズマ溶射した。Table 3にプラズマ溶射条件を示す。溶射距離を0.3m、溶射時間を450sとした。

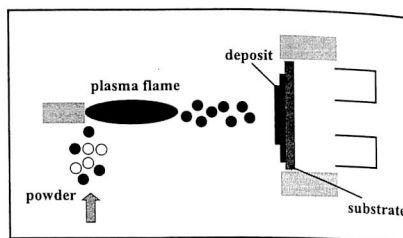


Fig. 7 Schematic illustration of low pressure plasma spraying process.

Table 3 Plasma spray conditions.

plasma gases	
primary gas, Ar	$4.9 \times 10^{-4}\text{m}^3/\text{s}$
secondary gas, H <sub>2</sub>	$1.5 \times 10^{-4}\text{m}^3/\text{s}$
voltage-current	60 V-500 A
chamber	
gas	Ar
pressure	40.0 kPa
spraying distance	0.3 m
spraying time	450 s

### 4-1-3 皮膜の評価法

溶射皮膜を基板から機械的に分離し、石英管に真空封入し、873K、1073K、1273Kあるいは1473Kで7.2ksの条件で熱処理した。皮膜断面をフッ化水素酸( $3.0\times10^{-6}\text{m}^3$ )+硝酸( $2.0\times10^{-5}\text{m}^3$ )+水( $7.7\times10^{-5}\text{m}^3$ )溶液で腐食し、SEM観察およびEPMA分析を行った。また、X線回折(CuK $\alpha$ 線)で相の同定、マトリックス中の析出物についてTEM観察および皮膜断面上でマイクロビッカース硬さ(荷重: 2.94N)を測定した。

### 4-2 溶射材料および皮膜の評価

#### 4-2-1 溶射材料

複合粉末の化学組成は59.1mass%Ti、39.3mass%Al、0.99mass%Nおよび0.61mass%Cである。炭素は、ミリングの助剤として用いたメタノールが分解して粉末中に取り込まれたものである<sup>[3]-[5]</sup>。Fig. 8に複合粉末の断面SEM写真を示す。複合粉末の断面には明るく見えるチタンと暗く見えるアルミニウムが層状構造をなしている。AlNは非常に微細な粉末であるため写真中では見られない。

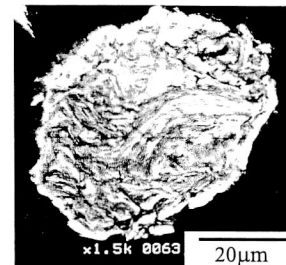


Fig. 8 SEM micrograph of cross-section of the composite powder.

### 4-2-2 皮膜

As-sprayed皮膜の構成相は $\text{Ti}_3\text{Al}$ ( $\alpha$ 2相)、 $\text{TiAl}$ ( $\gamma$ 相)および $\text{Ti}_2\text{N}$ 相であり、873K~1473Kで熱処理することによって、 $\text{Ti}_2\text{Al}(\text{C}, \text{N})$ の回折ピークが検出された。As-sprayed皮膜あるいは熱処理皮膜で $\text{Ti}_2\text{N}$ 相および $\text{Ti}_2\text{Al}(\text{C}, \text{N})$ が生成したことから、窒素の供給源として用いたAlNは溶射中に融解し、窒素はチタンと結合して $\text{Ti}_2\text{N}$ 相を生成する、もしくは急冷凝固によってマトリックス中に強制固溶されると考えられる。

以上のことからas-sprayed状態で



As-sprayed皮膜には $\text{Ti}_2\text{N}$ 相が生成し、 $\text{Ti}_2\text{Al}(\text{C}, \text{N})$ は生成していない。これは、窒素と炭素の $\alpha$ 2相および $\gamma$ 相からなる領域に対する固溶限の差によるものである。 $\alpha$ 2相および $\gamma$ 相からなる領域に対する炭素の固溶限は、1023Kで0.3mass%であり窒素よりも高い<sup>[6], [7]</sup>。そのため、炭素は窒素よりも $\alpha$ 2相および $\gamma$ 相からなるマトリックスに固溶しやすい。よって、as-sprayed皮膜には $\text{Ti}_2\text{Al}(\text{C}, \text{N})$ は生成していないと考えられる。Fig. 9に皮膜の断面SEM写真を示す。As-sprayed皮膜では約 $0.5\mu\text{m}$ の析出粒子が見られる。これらの析出粒子は、X線回折結果から $\text{Ti}_2\text{N}$ 相である。

SEM写真において、マトリックスに明るく見える領域と暗く見える領域があり、明るく見える領域に $\text{Ti}_2\text{N}$ 相が多く生成している。これは皮膜内の組成の不均一性によるものである。プラズマフレーム中の粉末の飛行経路の違いにより、個々の粉末粒子で元素の蒸発量が異なることにより皮膜内の組成の不均

一性が生じ、暗く見える領域よりも明るく見える領域の方がチタン濃度は高い<sup>[8]</sup>。よって、 $\text{Ti}_2\text{N}$ 相が生成し<sup>[9]</sup>、それらは明るく見える領域により多いと考えられる。熱処理温度の上昇に伴い、析出粒子の数が増大し、1473Kで熱処理した皮膜では約 $0.3\mu\text{m}$ の微細な粒子と約 $1.5\sim2\mu\text{m}$ の粗大な粒子が混在している。TEM観察の結果から比較的粗大な粒子は $\text{Ti}_2\text{Al}(\text{C}, \text{N})$ であると考えられる。

Fig. 10に皮膜のマイクロビッカース硬さを示す。

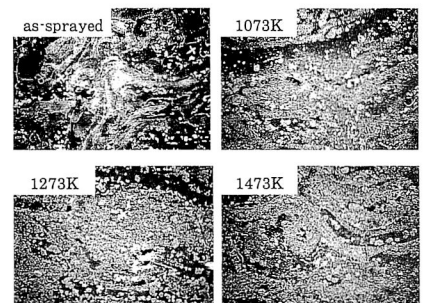


Fig. 9 SEM micrographs of cross-sections of the composite deposits.

As-sprayed皮膜と熱処理した皮膜の硬さは互いにほとんど同じである。硬さを増加させる因子として、析出粒子の生成に伴う析出硬化があり、硬さを減少させる因子として、析出粒子生成に伴うマトリックスの過飽和溶体の消失、熱処理温度上昇に伴う析出粒子の粗大化、および硬さの低い $\gamma$ 相の増加<sup>[19], [20]</sup>がある。これらの因子が組み合わさって硬さが変わらなかったと推察される。より高い硬さを有する皮膜を得るには、in-situ生成粒子による分散強化だけではなく、この粒子の生成に伴うマトリックス軟化の防止、つまり、

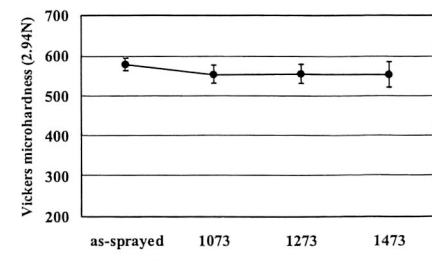


Fig. 10 Vickers microhardness of composite deposit.

マトリックス自体の強化が必要であると考えられる。Ti-Al-AlN複合皮膜は、これらとマトリックスが同じ組成の铸造 Ti-Al二元合金<sup>20)</sup>よりも約150~200高い硬さを有する。これは、Ti-Al-AlN複合皮膜にはマトリックス中に微細な窒化物あるいは炭窒化物が分散しており、それらの析出硬化によるものであると考えられる。

#### 4-3まとめ

プラズマ溶射法における急速凝固に着目し、チタン粉末、アルミニウム粉末およびAlN粉末から成る複合粉末を減圧プラズマ溶射することにより、微細な窒化物および炭窒化物を析出させたチタンアルミナイト基急速凝固皮膜を作製した例を紹介した。このように、プラズマ溶射法は、視点を変えることにより、表面処理技術としてだけでなく、急速凝固プロセスとしても利用が可能であり、広範囲にわたり応用することのできる技術であるといえる。

#### 5.おわりに

本研究では、それぞれの専門分野で代表される材料を用いて、高機能性を引き出さすべく下記の項目に関して分担し、特性を評価・解析した。その結果、

- 1) 振動を減衰させる特性にも優れたTi-Ni形状記憶合金の制振機能に及ぼす加工や熱処理の影響を検討し、開発設計指針を明らかにした。
  - 2) ゾル-ゲル法により作製される光半導体セラミック薄膜の光触媒活性を評価・解析し、新しい光触媒の設計指針を明らかにした。
  - 3) 表面改質技術の一つとして、プラズマ溶射技術を駆使して、作製したチタンアルミナイト/窒化物粒子皮膜の特性を明らかにした。
- これらの研究成果は、それぞれの専門分野で行われている材料研究を基にして、シーズ指向型の材料開発を継続していくための指針を与えると考えている。
- 最後に、本解説の内容は、平成18年度大学院工学研究科高度化推進研究費の助成によって達成された研究成果の一部を纏めたものである。関係者の皆様方にここに謝意を表します。

#### 参考文献

- 1) 鈴木雄一：実用形状記憶合金、工業調査会（1987）。
- 2) Mario Nicoletti: Memory Alloys for New Seismic Isolation and Energy Dissipation Devices, Workshop Proceedings, Rome, (1999).
- 3) 杉本孝一：音と振動と材料、技苑 96 (1998) 32-38.
- 4) 村上、亀井、山根、長村：金属材料学、朝倉書店 (1994) 14, 制振材料、158-169.
- 5) 阿部清一：関西大学大学院修士論文 (2003).
- 6) A. Fujishima and K. Honda, Nature, 238, 37 (1972).
- 7) H. Kozuka and M. Kajimura, J. Sol-Gel Sci. Tech., 22, 125, (2001).
- 8) Semiconductor Electrodes, Ed. by H. O. Finklea, Elsevier, Amsterdam, (1988), Chapter 1-3.
- 9) J. H. Kennedy and K. W. Frese, Jr., J. Electrochem. Soc., 125, 709, (1978).
- 10) R. A. Fredlein and A. J. Bard, J. Electrochem. Soc., 126, 1892, (1979).
- 11) K. G. McGregor, M. Calvin and J. W. Otvos, J. Appl. Phys., 50, 369, (1979).
- 12) Y. Hida and H. Kozuka, Thin Solid Films, 476, 264 (2005).
- 13) S. Srinivasan, S. R. Chen and R. B. Schwarz: Mater. Sci. Eng. A153 (1992) 691.
- 14) T. Suzuki and M. Nagumo: Scr. Metall. Mater. 27 (1992) 1413-1418.
- 15) J. Keskinen, A. Pogany, J. Rubin and P. Ruuskanen: Mater. Sci. Eng. A196 (1995) 205-211.
- 16) G. Petzow and G. Effenberg (VCH Verlagsagesellschaft, Weinheim, and VCH Publications New York, NY): Ternary Alloys 7 (1993) 331.
- 17) G. Petzow and G. Effenberg (VCH Verlagsgesellschaft, Weinheim, and VCH Publications New York, NY): Ternary Alloys 3 (1993) 559.
- 18) Y. Hoshiyama, H. Miyake, K. Murakami, H. Nakajima: Mater. Sci. Eng. A, A333, (2002) 92-97.
- 19) J. A. Graves, J. H. Perepezko, C. H. Ward and F. H. Froes: Scr. Metall. 21 (1987) 567-572.
- 20) D. Vujic, Z. Li and S. H. Whang: Metall. Trans. 19A (1988) 2445-2455.

## 都市型水害による地下空間浸水時の避難について

石垣 泰輔\*

Evacuation from Underground Space during Urban Flood

Taisuke ISHIGAKI

の避難に関する最近の研究を紹介する。

#### 2. 地下空間利用者の水害に対する意識と問題点

浸水の危険性がある地下空間は、ビルの地下室などの小規模地下空間および地下街や地下鉄といった大規模地下空間である。ここでは、大阪梅田地下街を中心とする利用者を対象に行ったアンケート調査結果<sup>1)</sup>を示し、地下空間利用者の水害に対する意識とその問題点について述べる。調査は、2005年10月～11月に実施したもので（JR 大阪駅での街頭配布および知人への個別配布）、回収率は66.7%（466名）である。図1は、地下空間利用時に発生すると怖い災害について聞いた結果であり、地震が43%、火災が35%と8割近くの人が地震か火災を恐れており、水害は19%と5人に1人程度である。また、地下浸水被害の認知度は、図2に示すように、発生都市名まで答えた人は24%と少ない。また、地下空間の水害対策については、図3に示すように不十分あるいは分からないと答えた人が98%となっており、ほとんどの人は水害対策について認識していない、というのが現状である。このような状況であることから、図4に示すように、大半の人が大雨時に地下を利用することとなる。なお、このような地下浸水は、高潮および津波時にも発生する可能性があることを考慮しておく必要がある。ここでは、これまでに行った京都大学防災研究所流域災害研究センターと関西大学工学部都市環境工学科環境防災水工学研究室との共同研究成果<sup>1)-3)</sup>と最近の結果<sup>4)-6)</sup>を示し、地下空間浸水時

原稿受付 平成18年9月23日

\*工学部教授（都市環境工学科）

#### 3. 地下空間浸水時の避難困難度

浸水時の地下空間からの避難は、ビルなどの小規模